

# استفاده از شبکه هوشمند جهت حل جریان ترانسونیک حول ایرفویلها

سید امیر عباس علومی<sup>۱</sup>، مهران عامری<sup>۲</sup>

AmirOloomi@me.iut.ac.ir

## چکیده

تجزیه و تحلیل‌های عددی نشان داده است که شبیه‌سازی‌های موفقیت آمیز جریان و دقت حل، قویاً به تعداد گره‌های به کار رفته در شبکه محاسباتی بستگی دارد. یک شبکه خوب باستی قابلیت تطبیق با خصوصیات مهم جریان را داشته باشد. ایجاد چنین شبکه‌ای برای جریان‌های پیچیده اگر غیر ممکن نباشد، تا حدودی مشکل است. زیرا تعداد کل گره‌هایی که می‌توانند در شبیه‌سازی عددی مورد استفاده قرار گیرند، اغلب محدود می‌باشد. همچنین موقعیت نواحی با گرادیان بالا در ابتدا معلوم نیست. بنابراین استفاده از شبکه‌های هوشمند در روش‌های حل عددی بسیار مطلوب می‌باشد. از میان روش‌های شبکه هوشمند، روش‌های شبکه هوشمند توزیع مجدد و جا داده شده بیشتر مورد توجه محققین قرار گرفته است. ترکیب این روش‌ها به طور طبیعی پیچیده‌تر از هر کدام از این دو روش به تنها‌یابی می‌باشد. به منظور بررسی دقت و بازده حل، چنین ترکیبی برای حل معادلات اویلر دو بعدی در دو مسئله مدل به کار گرفته شده است. نتایج نشان می‌دهد که ترکیب روش‌های شبکه هوشمند توزیع مجدد و جا داده شده با حفظ دقت بالا موجب صرفه جویی بیشتر در تعداد گره‌های لازم و در نتیجه حافظه و زمان محاسبه نسبت به هر کدام از این دو روش به تنها‌یابی شده و بنابراین ترکیب این دو روش را مجاز می‌نماید.

## کلیدواژه:

توزیع مجدد- جداده شده- شبکه هوشمند- معادلات اویلر

<sup>۱</sup>- استادیار دانشگاه آزاد اسلامی واحد بیزد

<sup>۲</sup>- استادیار دانشگاه شهید باهنر کرمان Ameri\_mm@uk.ac.ir

هنگامی که حل فیزیکی گسترش می‌باید، به سمت مناطق با تغییرات بزرگ حرکت کنند و بدین ترتیب نقاط شبکه در این مناطق متتمرکز شوند. بنابراین نقاط شبکه در هنگام حل فیزیکی با درک چنین مناطقی توزیع مجدد می‌شوند. این روش دارای چند مزیت اصلی است: اول آنکه شبکه محاسباتی در مسیر شکل‌های موردنظر در میدان جریان (به طور مثال موج ضربه‌ای) قرار گیرد. دوم آنکه برای کدهای موجود نسبتاً ساده به کار گرفته می‌شوند. در نهایت آنکه حافظه رایانه در طی حل افزایش نیافته و با توجه به اینکه این نوع هوشمند برای شبکه‌های سازمان یافته طبیعی است، سازمان اطلاعاتی آن بسیار راحت است. از معایب اصلی این روش آن است که سلول‌ها بد شکل، کج و کشیده شده و در نتیجه از دقت نتایج کاسته شده و امکان ناپایداری به وجود می‌آید. برای پرهیز از کجی زیاد و دندانهای شدن سلول‌ها، توزیع گره‌های شبکه باید به نحوی توسط همسایگان نزدیکش تحت تاثیر قرار گیرد. برای حل این مشکل دو روش اصلی مستقیم<sup>[۱،۵]</sup> و غیر مستقیم<sup>[۶]</sup> وجود دارد. روش مستقیم بر اساس شباهت فنرهای کششی و پیچشی است. در این روش فرض می‌شود که گره‌های شبکه به وسیله فنرهای کششی و پیچشی به هم متصل هستند. شبکه در بهترین حالت به وسیله کمینه کردن انرژی این سیستم از فنر، توزیع مجدد می‌شود که توسط ناکاهاشی (Nakahashi) و دیورت (Diewert) ابداع شده و برای حل مسائل دو بعدی غیر لرج تراکم پذیر تا حل مسائل سه بعدی لرج تراکم پذیر به کار گرفته شده است<sup>[۲]</sup>. روش غیر مستقیم از تولید شبکه بیضوی استفاده می‌شود. در این حالت توابع کنترل Q و P به منظور توزیع مجدد ثابت نمی‌باشدند (تولید شبکه پواسون تطبیقی)، کیم (Kim) و تامسون (Thompson) این روش را برای حل جریان‌های تراکم پذیر سه بعدی بر روی یک بال مورد استفاده قرار داده‌اند، که از کارهای شخص در این زمینه است<sup>[۴]</sup>. در این مقاله از روش مستقیم بر اساس شباهت با فنرها استفاده گردیده و ایده‌های گنفو (Gonffo)<sup>[۱]</sup> و ناکاهاشی و دیورت به کار گرفته شده است.

در روش جا دادن به طور محلی گره‌هایی در مناطق با خطای گرادیان زیاد ایجاد می‌شوند. بنابراین در این روش حل معادلات در یک شبکه ترکیبی، مرکب از یک شبکه کلی ثابت که در مناطق مهم به طور هوشمند تکه هایی در آن جا داده شده‌اند، صورت می‌پذیرد. کالیندریس (Kallinderis) و ویجايان (Vijayan)<sup>[۸]</sup> یک الگوریتم شبکه هوشمند برای شبکه‌های سه بعدی هرمی ارائه کرده‌اند. آنها روش‌های مناسبی برای کاهش سلول‌هایی که در تداخل نواحی تطبیق شده و تطبیق نشده به وجود می‌آیند به کار گرفتند. کالیندریس و همکاران<sup>[۹]</sup> روشی برای تطبیق در هندسه‌های

## ۱- مقدمه

حل معادلات حاکم بر مکانیک سیالات، یکی از مطرح ترین مسائل در علوم و مهندسی می‌باشد. امروزه دینامیک سیالات محاسباتی به عنوان ابزار مکمل تونل باد و روش‌های تجربی به کار می‌رود. روش‌های کامپیوتری جایگزین مناسبی برای آزمایش‌های سخت و خطرناک می‌باشند. با صرف نظر کردن از نیروی مقاوم اصطکاکی، جریان‌های تراکم پذیر را می‌توان با استفاده از حل معادلات اویلر شبیه‌سازی نمود. به علت سادگی در بیان فیزیکی و سهولت پایه‌گذاری الگوریتم حل عددی، همچنین راحتی در اعمال شرایط مرزی، روش‌های پیمایش زمانی صریح کاربرد زیادی در حل معادلات اویلر دارند، ولی زمان مورد نیاز برای رسیدن به یک دقت مراتبی بالا در اینگونه روش‌ها، هزینه زیادی را در بر دارد. همچنین اکثر مسائل ترانسونیک شامل مسائلی مانند امواج ضربه‌ای، لایه‌های مرزی و برشی، پدیده جدایی و . . . می‌باشند که این پدیده‌ها موجب تغییرات شدید خواص جریان سیال می‌شوند. به علت گستردگی این مسائل، نمی‌توان محل دقیق تغییرات شدید خواص جریان را قبل از حل، تعیین نمود. بنابراین مشکل عمده در حل اینگونه مسائل انتخاب یک شبکه مناسب برای حل می‌باشد. بدینهی است انتخاب یک شبکه مناسب مقدم بر حل مسئله می‌باشد و نتایج بدست آمده از حل عددی یک مسئله به ساختمان مناسب شبکه محاسباتی وابسته است، به طوری که انتخاب غیر مناسب مکان نقاط شبکه می‌تواند منجر به ناپایداری و یا واگرایی شود. یکی از شیوه‌های ویژه به منظور استفاده هوشمندانه از منابع محاسباتی، آن است که اجازه دهیم شبکه با حل به طور یکسان تحلیل که مناطق با خطای یا گرادیان‌های مختلف به طور یکسان تحلیل شوند. برای دستیابی به چنین منظوری باید الگوریتم تولید شبکه و الگوریتم حل به طور پیچیده‌ای به یکدیگر مرتبط شوند. به همین دلیل به کارگیری روش‌های هوشمند ذاتاً بسیار پیچیده‌تر از روش‌های شبکه ثابت می‌باشند. اما صرفه جویی در حافظه و زمان محاسبه برای خیلی از جریان‌ها آنقدر زیاد است که چنین پیچیدگی را مجاز می‌نماید. در حال حاضر استفاده از هوشمند شبکه از مسائل پیشرو در تولید شبکه‌های عددی بوده و یکی از مهمترین بخش‌های آن نیز می‌باشد.

در میان روش‌های هوشمند شبکه، روش‌های توزیع مجدد<sup>[۱،۷]</sup> و جا داده شده<sup>[۱۲،۸]</sup> مورد توجه بیشتر محققین قرار گرفته و عمده‌ترین کارها در این دو زمینه صورت پذیرفته است. در روش توزیع مجدد تعداد گره‌ها ثابت است اما گره‌ها از مناطق با خطای گرادیان‌های کوچک به سمت مناطق با خطای یا گرادیان‌های زیاد حرکت می‌کنند. ایده اصلی روش آن است که نقاط شبکه، در

$$U = \begin{pmatrix} \rho \\ \rho u \\ \rho v \\ e \end{pmatrix}, F = \begin{pmatrix} \rho u \\ \rho uu + p \\ \rho uv \\ \rho uh_0 \end{pmatrix}, G = \begin{pmatrix} \rho v \\ \rho vu \\ \rho vv + p \\ \rho vh_0 \end{pmatrix} \quad (2)$$

$$h_0 = \frac{e + p}{\rho} = \frac{\gamma}{\gamma - 1} \frac{p}{\rho} + \frac{1}{2} (u^2 + v^2) \quad (3)$$

در معادلات بالا  $p$  چگالی،  $u$  و  $v$  مولفه‌های سرعت در راستای  $x$  و  $y$ ،  $e$  انرژی درونی کل بر واحد حجم،  $p$  فشار و  $h_0$  آنتالپی کل می‌باشند. در این تحقیق از روش حجم محدود صریح بر اساس روش Finite-Volume، Lax-Wendroff Type (Lax-Wendroff Type) که توسط نی (Ni) ابداع شده [۱۳]، برای انتگرال‌گیری از معادلات غیر دایم اویلر به حالت دایم استفاده شده است و شرط مرزی غیر انعکاسی جیلز (Giles) به کار گرفته شده است [۱۴]. همچنین برای شتاب دادن به همگرایی و انتشار امواج از میان مناطق جا داده شده، تکنیک چند شبکه‌ای به کار گرفته شده است. از پله‌های زمانی محلی نیز برای افزایش شتاب همگرایی استفاده شده است.

### ۳- روش شبکه هوشمند توزیع مجدد

#### ۳-۱- توزیع مساوی

همانطور که بیان شد، هدف از تطبیق شبکه کاهش خطای حل عددی به علت استفاده از فواصل محدود شبکه (خطای برشی) است. ایده‌آل آن است که بطور صریح خطای حل بیان گردد و فواصل شبکه به منظور کمینه کردن مقادیر بیشینه خطای تنظیم گردد. متأسفانه خطای حل را بندرت ممکن است بطور صریح بدست آورد. بنابراین برای کاهش غیر مستقیم خطای حل از کمینه کردن مقادیر بیشینه ضرب فواصل شبکه در یک کمیت استفاده می‌شود. این کمیت راتابع وزنی  $W$  می‌نامیم و فرض می‌کنیم که در یک شبکه یکنواخت خطای حذف هنگامی که  $W$  زیاد باشد، زیاد است و هنگامی که  $W$  کم باشد، کم است. به علت آنکه کاهش فواصل شبکه در یک مکان منجر به افزایش در مکان‌های دیگر می‌گردد (با فرض نقاط انتهایی ثابت)، کمینه کردن با ثابت قراردادن این ضرب بدست می‌آید. به این روش توزیع مساوی می‌گویند.

اگر  $W_i$  تابع وزنی در فاصل  $i$  و  $i+1$  باشد، معادله توزیع مساوی برابر است با:

$$W_i(S_{i+1} - S_i) = C \quad (4)$$

پیچیده به منظور حل جریان‌های لزج به کار برده‌اند. آنها از المان‌های منشوری و هرمی استفاده کرده‌اند. کتل (Connell) و همکاران [۱۰] نیز از الگوریتم مشابهی برای حل معادلات اویلر استفاده کرده‌اند. مزیت شبکه‌های غیر سازمان یافته سهولت شبکه‌بندی حول اجسام پیچیده بوده و به علاوه سازمان اطلاعاتی با تطبیق تغییری نمی‌کند. اما شبکه‌های غیر سازمان یافته مثلثی و شش‌وجهی دارای معایی نیز هستند. از جمله آنکه حل معادلات حاکم در این نوع شبکه‌ها بسیار گرانتر از شبکه‌های مستطیلی و هشت‌وجهی است. همچنین به منظور افزایش سرعت همگرایی، استفاده از روش چند شبکه‌ای (Multiple-Grid)، اگر چه برای شبکه‌های غیر سازمان یافته مثلثی و شش وجهی غیر ممکن نیست، اما بسیار مشکل بوده و جداً به یک سازمان اطلاعاتی اضافی نیاز دارد. روش شبکه هوشمند شبکه جادده شده با استفاده از شبکه اولیه سازمان یافته نیز برای حل معادلات اویلر وناویر-استوکز در کارهای زیادی انجام پذیرفته که به عنوان نمونه می‌توان به مرجع [۱۱] مراجعه نمود. با آنکه تقسیم یک چهار ضلعی به چهار چهار ضلعی دیگر طبیعی ترین نوع تقسیم به نظر می‌رسد، اما براساس سلول و جهت گرادیان‌های بزرگ در میدان جریان، وضعیت هایی وجود دارد که لازم است تقسیم فقط در یک جهت و در همسایگی شکل جریان مورد نظر صورت گیرد. بدین ترتیب با حفظ دقت، از ایجاد سلول‌ها و گره‌های اضافی پرهیز شده و انتظار می‌رود زمان محاسبات کاهش یابد [۱۲]. دیویس (Davis) و داننهوفر (Dannenhofer) برای حل معادلات اویلر در سه بعد با استفاده از دسته سلول‌ها (Chunk) تقسیم جهتی را بکار گرفته‌اند [۱۱]. در این حالت اگر هر کدام از سلول‌ها تقسیم شوند، تمامی سلول‌های آن دسته تقسیم می‌شوند. بنابراین اغلب تقسیمات غیر جهتی بوده و سلول‌های اضافی زیادی تشکیل می‌شوند. عامری و شیرانی [۱۲] از تقسیم جهتی از اولین مرحله تطبیق برای حل معادلات اویلر استفاده نموده‌اند. در این مقاله نیز از تقسیم جهتی از اولین مرحله تطبیق و در تمامی میدان حل بدون هیچ محدودیتی استفاده شده است.

### ۲- معادلات حاکم و روش حل عددی

معادلات غیر دائم اویلر در حالت دو بعدی و به صورت تقایی به شکل زیر هستند:

$$\frac{\partial U}{\partial t} = - \left[ \frac{\partial F}{\partial x} + \frac{\partial G}{\partial y} \right] \quad (1)$$

که در آن

قبلی توسط یک فنر پیچشی (CB) در شکل(۱) که موقعیت ثابت آن CA است، متصل است. موقعیت A تنها از طریق خطوط شبکه تطبیق یافته قبلي (نماییده شده توسط j-2 و j-1 در شکل(۲) به عنوان راهی برای افزایش همواری شبکه تعیین می‌شود.

فنر پیچشی یک نیرو بر B به سمت A اعمال می‌کند که اگر ثابت فنر کششی را CT بنامیم، یک رابطه ریاضی این نیرو را مشخص می‌کند.

$$F_T = c_T(\theta - \phi) \quad (7)$$

که  $\theta$  شیب خط CB و  $\phi$  شیب خط CA است. بنابراین معادله توزیع مساوی (۶) به معادله زیر تبدیل می‌شود.

$$W_i(S_{i+1} - S_i) - W_{i-1}(S_i - S_{i-1}) + c_T(\theta - \phi) = 0 \quad (8)$$

به منظور سادگی در بکارگیری معادله (۸)، جمله سوم را بدین گونه می‌نویسیم

$$c_T(\theta - \phi) = T(S_A - S_B) \quad (9)$$

توجه کنید که SB همان Si بوده و T برابر با CT تقسیم بر طول CA است. بنابراین معادله (۸) به معادله نهایی زیر تبدیل می‌گردد.

$$W_{i-1}S_{i-1} - (W_i + W_{i-1} + T)S_i + W_iS_{i+1} = -TS_A \quad (10)$$

بنابراین یک سیستم از معادلات سه قطری برای Si باید حل شود. آزمایش‌های انجام گرفته در این تحقیق نشان داد که  $c_w$  بین ۰/۰۵ تا ۱/۵ نسبتاً مناسب است. رابطه بین فنرهای کششی و پیچشی را مقدار CT معلوم می‌کند. اگر این مقدار بزرگ باشد، گره‌ها بشدت در جهت خطوط تطبیق یافته قبلي (CA در شکل(۱)) قرار می‌گیرد. اگر این مقدار کوچک باشد، خطوط شبکه نوسانی شده و تعداد مراحل تکرار نیز افزایش می‌یابد. آزمایش‌های انجام گرفته در این پژوهش مقدار CT را بین  $c_w/400$  تا  $c_w/100$  پیشنهاد می‌دهد.

#### ۴-۳- روش شبکه هوشمند جاداده شده

همانطور که در مقدمه بیان شد، در این روش در داخل یک شبکه درشت و در مناطق با گرادیان یا خطای زیاد، یک شبکه ریز جاداده می‌شود. برای اجرای این عمل، باید مناطق با گرادیان یا خطای زیاد توسط روش تشخیص داده شده و بطور خودکار سلول های شبکه تقسیم شوند. روند می‌تواند چندین مرتبه تکرار شده و در نتیجه شبکه های جاداده شده ریزتر و ریزتر گردد تا منطقه مورد نظر با دقیق تحلیل شود.

i فواصل گره i تا یک نقطه مشخص (در این مقاله تا ابتداء) در طول خط شبکه است. معادله (۴) به علت آنکه W تابعی از S است، غیرخطی بوده و معادله باید بصورت تکراری حل گردد.

برای انتخاب تابع وزنی روش‌های گوناگونی وجود دارد. به عنوان مثال مک ری و بنسن (McRae and Benson) برای تعیین تابع وزنی از ترکیب خطی گرادیان چند متغیر جریان استفاده نمودند [۷]. در این مقاله از گرادیان یک متغیر جریان به عنوان تابع وزنی استفاده می‌شود. اگر q نشان دهنده یک متغیر جریان باشد، مانند چگالی یا عدد ماخ، معادله زیر مناسب به نظر می‌رسد.

$$W = 1 + c_w \left| \frac{dq}{dS} \right| \quad (5)$$

به منظور اجتناب از فواصل بزرگ شبکه W باید توسط یک کمینه مناسب محدود گردد. همچنین W باید به یک حد بالا محدود شده تا از ایجاد فواصل شبکه بسیار کوچک اجتناب شود. به عنوان یک چاره برای اعمال حد پایین، جمله اول سمت راست معادله (۵) از ایجاد فواصل شبکه بزرگ جلوگیری می‌کند.  $c_w$  توسط کاربر (بزرگتر از صفر) انتخاب شده تا فواصل شبکه کنترل گردد.

#### ۲-۲- مسئله تطبیق دو بعدی

مسئله تطبیق در یک بعد یا معادل آن در طول یک خط شبکه واضح است. معادله توزیع مساوی به صورت یک دسته معادله

$$W_i(S_{i+1} - S_i) = W_{i-1}(S_i - S_{i-1}) \quad (6)$$

با مقادیر ثابت  $S_{i\min}$  و  $S_{i\max}$  به طور تکراری برای  $S_i$  (i=i<sub>min</sub>+1 to i<sub>max</sub>-1) حل می‌شود. در هر مرحله تکرار لازم است  $W_i$  از شبکه قبلی به شبکه فعلی میانیابی گردد. در دو بعد نیز این روند را برای تمامی خطوط شبکه تکرار می‌کنیم.

#### ۳-۲- روش بر اساس شباهت با فنر

اصول این روش بر این اساس است که کشش در یک فنر کشیده شده با ثابت فنر (شبیه به تابع وزنی W) ضربدر کشیدگی فنر (فاسله دو گره) برابر است. پس اراضی معادله توزیع مساوی (۶) شبیه به اخذ یک سیستم تعادل از فنرهای می باشد (همان کشش در هر فنر). فرض کنید که گره‌ها مانند مهره ها قادر به لنزیدن در طول یک سیم ثابت هستند و به وسیله فنرهایی با ثابت فنر متفاوت به یکدیگر متصل شده‌اند. در دو بعد به علاوه فرض می‌شود که هر مهره به گره مطابق خود (حالا ثابت) در خط شبکه تطبیق یافته

اختلاف چگالی به عنوان معیار تطابق و تعیین آستانه استفاده شده است. روش انجام شده بدین گونه است:

- در هر سلول مقدار مطلق اختلاف چگالی متوسط سطوح متضاد به عنوان معیار تطابق محاسبه می‌گردد.

$$R_1 = |\rho_{NW} + \rho_{NE} - \rho_{SW} - \rho_{SE}| \quad (11)$$

$$R_2 = |\rho_{NE} + \rho_{SE} - \rho_{NW} - \rho_{NE}| \quad (12)$$

$$R_{ave} = \frac{1}{N_{cell}} \sum_{e=1}^{N_{cell}} R_e \quad (13)$$

$$R_{sd} = \sqrt{\frac{1}{N_{cell}} \sum_{e=1}^{N_{cell}} (R_e - R_{ave})^2} \quad (14)$$

- آستانه تقسیم بدینگونه تعریف می‌شود.

$$R_{th} = R_{ave} + \alpha R_{sd} \quad (15)$$

سلول‌هایی که دارای  $R$  بزرگتر از  $R_{th}$  هستند، برای تقسیم علامت زده می‌شوند. مقدار  $\alpha$  را می‌توان بین ۰/۸ تا ۰/۲۵ می‌بسته به نوع مسئله انتخاب نمود. مقدار بزرگ  $\alpha$  ممکن است منجر به عدم توانایی کافی در آشکار کردن شکل میدان جریان شده و مقدار کوچک آن منجر به تولید گره‌های اضافی خواهد شد. کارهای انجام شده در این تحقیق نشان می‌دهد که  $\alpha$  برابر ۰/۲۸ نسبتاً مناسب است.

## ۶- سازمان اطلاعاتی

در سال‌های اخیر روش‌های سلسله مراتب چهار شاخه‌ای (یا هشت شاخه‌ای) (Octree) or (Hierarchical Quadtree) معرفی شده‌اند که به علت سازمان اطلاعاتی بسیار مناسب مورد توجه زیاد محققین قرار گرفته است. این روش‌ها می‌توانند هرگونه فضای محاسباتی غیرمنظم دو یا سه بعدی را به نحو بسیار موثری برای انجام محاسبات عددی شبکه‌بندی کنند. در این روش‌ها زیر دامنه‌های فضای محاسباتی به طریق جبری و به صورت متوالی به مجموعه‌ای از چهار ضلعی (یا هشت ضلعی) تجزیه می‌شود و اطلاعات شبکه ایجاد شده به شیوه سلسله مراتبی حفظ می‌شوند. استفاده از یک چنین سازمان اطلاعاتی کاربرد آن را در حل مسایل فیزیکی آسان می‌کند [۱۷]. به علاوه لازم به ذکر است که شبکه‌های سلسله مراتبی محیط ایده آلی برای بکارگیری روش‌های چند شبکه‌ای هستند. با کمی تغییرات، این روش برای فرآیند جاددان بسیار مناسب است. روش چهار شاخه‌ای بر مبنای شاخه فامیلی و همچنین همسایه‌های هر سلول بنا می‌گردد. بنابراین برای هر سلول تولیدات بعدی (فرزنдан) و تولید کننده (والد) ذخیره می‌گردد. اگر تقسیم جهتی مدنظر نباشد، سلول‌هایی که به عنوان همسایه یک

## ۴- تقسیم محلی شبکه

با ریز کردن شبکه فقط در مناطق با گرادیان یا خطای زیاد در جریان می‌توان با حفظ دقت کافی، حافظه و زمان محاسبه را به حداقل رساند. این عمل می‌تواند به شکل ساده با تقسیم شبکه در هر دو جهت سلول صورت گیرد. بدین ترتیب شبکه اولیه و جداده شده از نظر هندسی کاملاً مشابه اند. اما وضعیت‌هایی وجود دارد که تقسیم در یک جهت در همسایگی شکل موردنظر کافی است [۱۱، ۱۲]. شکل (۳)، سه نوع تقسیم که هنگام بکارگیری تقسیم جهتی ایجاد می‌شوند را نشان می‌دهد. استفاده از تقسیم جهتی روش تطبیق را نسبتاً پیچیده می‌کند، اما فایده استفاده از آن کاملاً آشکار است. تنها یک سلول به جای سه سلول اضافه شده و در نتیجه در حافظه و زمان محاسبه صرفه جویی می‌گردد.

هنگامی که فرآیند جاددان انجام می‌گیرد، شبکه با تغییر ناگهانی ابعاد سلول‌ها مواجه می‌شود. یک چنین تغییرات ناگهانی باعث خطایی قابل مقایسه با خطای شبکه خشن در همسایگی سلول‌های درشت می‌شود. بنابراین اختلاف زیاد بین اندازه سلول‌های مجاور بدون توجه به روش حل معادلات اثر معکوس می‌گذارد. در نتیجه حداکثر نسبت یک به دو برای ابعاد سلول‌های مجاور پیشنهاد می‌شود. پس به منظور حداقل کردن تغییرات ناگهانی، شبکه جداده شده باید هموار شود.

## ۵- معیار تطابق

یکی از اساسی‌ترین قسمت‌های روش شبکه هوشمند جداده شده، ایجاد الگوریتمی برای احسان وجود مناطق مهم و خاص است. برنامه تطبیق باید قادر به احسان وجود و دنبال کردن تکامل یک چنین مناطقی باشد. دو روش اساسی برای آشکار سازی یک چنین مناطقی وجود دارد. اولی براساس تخمین خطای برشی است [۱۵]. چون موضوع اولیه تطبیق کمینه کردن این خطای است، پس آشکارسازی مستقیم مناطق با خطای زیاد راهنمای بسیار مناسبی است. متأسفانه، خطای برشی بطور مستقیم معلوم نیست. اصول روش دوم آشکارسازی مناطقی است که تغییرات مهم در جریان وجود دارد [۱۱، ۱۲، ۱۶]. البته خطای برشی به تغییرات میدان جریان وابسته است. معمولاً خطای برشی در مناطق با تغییرات کوچک، ناچیز بوده و در مناطق با تغییرات بزرگ، بیشینه است. پس معمول آن است که مناطق با گرادیان زیاد در جریان جستجو شود. آشکارسازی این مناطق اساساً به آشکارسازی شکل میدان جریان منجر می‌شود. فرآیند آشکارسازی میدان جریان به آستانه مخصوصی برای هر معیار تطابقی احتیاج دارد. در این تحقیق از

یکنواخت معادل با ریزی شبکه جداده شده می‌توان رسید. هدف اصلی این تحقیق، ارزیابی بیشتر کارایی ترکیب روش‌های تطبیق شبکه توزیع مجدد و جداده شده می‌باشد. اگرچه روش‌های تطبیق شبکه توزیع مجدد و جداده شده قبلاً هم ترکیب شده‌اند [۱۸] ولیکن تاکنون ترکیب این دو روش برای حل جریان حول ایرفویل‌ها مدد نظر قرار نگرفته است. از این‌رو در این پژوهش، ترکیب روش‌های تطبیق شبکه توزیع مجدد و جداده شده برای جریان خارجی در اطراف ایرفویل مورد استفاده قرار گرفت.

اگر از یک شبکه با سازمان اولیه استفاده شود امکان ترکیب این دو روش تطبیق وجود دارد. بدین ترتیب که (۱) میدان جریان در یک شبکه نسبتاً درشت اولیه حل می‌شود. شبکه مذبور باید به گونه‌ای باشد که در عین همگرایی سریع، جزئیات اولیه جریان را نمایان کند. (۲) روش هوشمند توزیع مجدد چند بار در این شبکه بکار گرفته شده و (۳) چند بار روش هوشمند شبکه جداده شده در شبکه بدست آمده مورد استفاده قرار می‌گیرد.

## ۹- نتایج

برای بررسی دقت و راندمان روش دو مسئله مدل مدنظر قرار گرفت. مسائل شامل جریان بر روی ایرفویل NACA0012 در دو ماخ ورودی متفاوت می‌باشند. برای کلیه مسائل معیار همگرایی نهایی برابر با  $\delta(p_{max})/V^{max}$  کوچکتر از  $10^{-5}$  انتخاب شده است. در هنگام به کارگیری روش هوشمند توزیع مجدد، اعمال تطبیق شبکه زمانی است که معیار همگرایی به  $10^{-5} \times 5$  برسد و این عمل سه بار تکرار شده است. اما در هنگام به کارگیری روش هوشمند شبکه جداده شده، اعمال تطبیق زمانی است که معیار همگرایی به  $10^{-5}$  برسد و فرآیند جداده در نهایت دو بار بکار گرفته شده است.

شکل‌ها شبکه‌های ایجاد شده و خطوط هم ماخ را به ترتیب برای ۱- شبکه نسبتاً خشن اولیه -۲- شبکه‌ای که تنها روش هوشمند توزیع مجدد در آن بکار گرفته شده است. -۳- شبکه‌ای که از ترکیب روش‌های هوشمند توزیع مجدد و جداده شده استفاده کرده است اما فرآیند جداده فقط یک بار بکار گرفته شده است. -۴- شبکه‌ای که از ترکیب روش‌های هوشمند توزیع مجدد و جداده شده استفاده کرده است اما فرآیند جداده دو بار به کار گرفته شده است. -۵- شبکه‌ای که تنها روش هوشمند جا دادن در آن به کار گرفته شده است و فرآیند جداده دو بار به کار گرفته شده است. -۶- شبکه یکنواخت معادل با ریزی شبکه جداده شده با دو بار فرآیند جداده ( $320 \times 65$  گره) نشان می‌دهد.

شبکه اولیه و شبکه ریز یک شبکه O شکل بیضوی است و مرزهای دورdest در ۱۲ برابر طول کورد از ایرفویل قرار گرفته‌اند. حالت

سلول مشخص می‌گردد، دارای همان سطح تقسیم هستند. اگر از تقسیم جهتی استفاده شود، حالت‌های گوناگونی پیش می‌آید. در این صورت ممکن است سلول‌ها در یک سطح تقسیم شوند، اما سلول‌های تولید شده در سمتی دارای همسایه نباشند و یا همسایه در سطح دیگر باشند. علاوه بر این واضح است که باید گره‌های متصل به هر سلول و نوع تقسیم برای سلول‌های والد معلوم گردد.

## ۷- گره‌های سطوح داخلی

در نتیجه استفاده از روش شبکه هوشمند جداده شده، گره‌های ایجاد می‌گردد که به چهار گره همسایه متصل نبوده و فقط به سه گره متصل می‌شوند. یک سطح داخلی به دو علت مسایلی را برای حل عددی اصلی مطرح می‌کنند. اول آنکه در این سطح سلول‌هایی وجود دارند که دارای پنج یا شش گره‌اند (یک سلول حداکثر می‌تواند دو گره سطح داخلی داشته باشد و امکانات دیگر در مرحله هموار کردن برداشته می‌شود)، در حالی که روش حل برای سلول‌های با چهار گره طراحی شده‌اند. دوم آنکه در این سطوح تغییر ناگهانی در اندازه سلول‌ها ایجاد شده که مسئله دقت را مطرح می‌کنند. پایداری و دقت دو مسئله مهم در رفتار با چنین گره‌هایی است. بکارگیری یک رفتار عددی مناسب با یک چنین نقاطی یکی از مسائل مهم در این روش هوشمند می‌باشد. ترجیحاً رفتار باید ساده و قابل گسترش به سه بعد باشد. در این تحقیق با اتصال گره‌های سطوح داخلی به گره‌های همسایه و ایجاد سلول‌های مثلثی و چهار ضلعی، چنین گره‌هایی حذف گردید (شکل ۴). در این روش اصراری بر اینکه تمامی سلول‌های ایجاد شده مثلثی باشند، وجود ندارد و در نتیجه در تعداد سلول‌های ایجاد شده برای سلول‌های صرفه‌جویی می‌شود. روش حجم محدود بکار گرفته شده برای سلول‌های مثلثی همان است که برای سلول‌های چهار ضلعی استفاده می‌شود، با این تفاوت که در سلول‌های مثلثی یکی از نقاط نماینده دو گره است. مزیت چنین روشی ساده و بقایی بودن آن است.

## ۸- ترکیب روش‌های تطبیق شبکه توزیع مجدد و جداده شده

اگرچه استفاده از روش هوشمند توزیع مجدد باعث افزایش دقت در مناطق ویژه می‌شود اما تعداد گره‌های شبکه محدودی را به این روش تحمل می‌کند. در عین حال به طور طبیعی زمان محاسبه این روش بیشتر از زمان محاسبه در یک شبکه معمولی است. از سوی دیگر اگرچه روش هوشمند شبکه جداده شده باعث کاهش قابل توجه در تعداد گره‌های لازم و در نتیجه حافظه و همچنین زمان محاسبه می‌شود اما حداکثر به دقتی برابر با شبکه

آنتروپی، درشت بودن شبکه در جلوی ایرفویل می‌باشد. به منظور آشکارسازی بیشتر کارایی تطبیق توزیع مجدد، به طور عمده شبکه اولیه در جلوی ایرفویل خشن در نظر گرفته شد که این امر موجب ایجاد خطأ و تولید آنتروپی می‌گردد. همان‌طور که از مقایسه خطوط هم ماخ مشخص می‌باشد، فرآیند هوشمند توزیع مجدد با تراکم گره‌ها در محل‌های خطأ از جمله در جلوی ایرفویل، موجب کاهش خطأ حل عددی و در نتیجه موجب کاهش آنتروپی می‌گردد. همچنین جدول(۲) ضرایب آیرودینامیکی  $C_D$  و  $C_L$  برای جریان با ماخ ورودی  $0/85$  و زاویه حمله  $1/10$  درجه را برای حالات مختلف تطبیق شبکه نشان می‌دهد که نتایج حاصل با نتایج مراجع [۲۱، ۲۰] مقایسه شده‌اند. مقایسه نتایج، نشان دهنده ارزیابی مناسب این ضرایب توسط روش ترکیبی تطبیق توزیع مجدد و جاداده شده می‌باشد. نمودار تغییرات ضریب فشار برای ماخ  $0/8$  در شکل(۷) و ماخ  $0/85$  در شکل(۸) آورده شده است. برای وضوح بیشتر چگونگی نوسانات در اطراف محل شوک، نوسانات با درشت نمایی در هر شکل مشخص می‌باشد. با توجه در نمودار تغییرات ضریب فشار افزایش دقت و کاهش نوسانات در حوالی امواج ضربه‌ای در حالت ترکیبی تطبیق توزیع مجدد و جاداده شده، مشخص می‌باشد.

#### ۱۰- نتیجه‌گیری

نتایج به دست آمده از حل این دو مسئله مدل نشان می‌دهد که نسبت به شبکه یکنواخت معادل با ریزی شبکه جاداده شده، ترکیب روش‌های هوشمند توزیع مجدد و جاداده شده نه تنها موجب افزایش دقت می‌گردد، بلکه باعث صرفه جویی قابل ملاحظه‌ای در تعداد گره‌ها و در نتیجه در حافظه و همچنین زمان حل مسئله می‌گردد. همچنین اگر نسبت به شبکه یکنواخت معادل با ریزی شبکه جاداده شده مقایسه شود، زمان محاسبه در روش هوشمند جاداده شده کمتر از زمان محاسبه با استفاده از ترکیب روش‌های هوشمند توزیع مجدد و جا داده شده می‌باشد. البته چنین نتیجه‌ای طبیعی است چرا که توزیع مجدد زمان اضافی به چنین ترکیبی تحمیل می‌کند. ولی اگر دقت یکسان را ملاک مقایسه قرار دهیم، آن گاه استفاده از ترکیب روش‌های هوشمند توزیع مجدد و جا داده شده کاهش قابل توجهی را در تعداد گره‌ها و در نتیجه حافظه و زمان محاسبه نسبت به استفاده از روش هوشمند شبکه جا داده شده به تنهایی نشان می‌دهد.

#### ۱۱- مراجع

- [1] P. A. Gonffo, "A Finite-Volume, Adaptive Grid Algorithm Applied to Planetary Entry Flowfields", AIAA Journal, Vol. 21, September 1983.

اول با عدد ماخ ورودی  $0/8$  و زاویه حمله  $1/25$  درجه - حالت دوم با عدد ماخ ورودی  $0/85$  و زاویه حمله  $1/10$  درجه مدنظر قرار گرفت. شبکه اولیه، یک شبکه یکنواخت شامل  $17 \times 80$  گره برای منفصل کردن ناحیه حل می‌باشد. نتایج بدست آمده برای ماخ  $0/8$  در شکل(۵) آمده است. نتایج نشان می‌دهد که دقت جواب‌های به دست آمده از ترکیب این دو روش از شبکه یکنواخت معادل با ریزی شبکه جاداده شده، بیشتر است. حتی جواب‌های به دست آمده از چنین ترکیبی هنگامی که فرآیند جادادن تنها یک بار به کار گرفته شود، تقریباً برابر با شبکه یکنواخت معادل با ریزی شبکه جاداده شده‌ای است که دو بار فرآیند جادادن را به کار گرفته است. در عین حال اگر یک بار فرآیند جادادن به کار گرفته شود، زمان محاسبه به  $9\%$  شبکه یکنواخت شامل  $65 \times 20$  گره رسیده و تعداد گره‌ها از  $20800$  گره در شبکه یکنواخت به  $3062$  گره کاهش می‌یابد. اما اگر از دو بار فرآیند جادادن استفاده شود، زمان محاسبه به  $18\%$  شبکه یکنواخت شامل  $65 \times 20$  گره رسیده و تعداد گره‌ها از  $20800$  گره در شبکه یکنواخت به  $7562$  گره کاهش می‌یابد. جدول ۱ ضرایب آیرودینامیکی  $C_D$  و  $C_L$  برای جریان با ماخ ورودی  $0/8$  و زاویه حمله  $1/25$  درجه را برای حالات مختلف تطبیق شبکه نشان می‌دهد. همچنین نتایج حاصل با نتایج مراجع [۱۹، ۲۰] مقایسه شده‌اند. مقایسه نتایج، نشان دهنده ارزیابی مناسب این ضرایب توسط روش ترکیبی تطبیق توزیع مجدد و جاداده شده می‌باشد. همچنین نتایج حاصل برای ماخ  $0/85$  در شکل(۶) آمده است. مجدد نتایج نشان می‌دهد که دقت جواب‌های به دست آمده از ترکیب روش‌های هوشمند توزیع مجدد و جاداده شده از شبکه یکنواخت معادل با ریزی شبکه جاداده شده، بیشتر است. با یک بار استفاده از فرآیند جادادن، زمان محاسبه  $17 \times 0/10$  زمان محاسبه شبکه یکنواخت شامل  $65 \times 20$  گره می‌رسد و تعداد گره‌ها از  $20800$  گره در شبکه یکنواخت به  $3071$  گره کاهش می‌یابد. ولی با دو بار استفاده از فرآیند جادادن، زمان محاسبه به  $40\%$  شبکه یکنواخت شامل  $65 \times 20$  گره رسیده و تعداد گره‌ها از  $20800$  گره در شبکه یکنواخت به  $7579$  گره کاهش می‌یابد که در این حالت دقت حل بیشتر است. با دقت بر روی نتایج به دست آمده می‌توان دید که جواب‌های بدست آمده از چنین ترکیبی هنگامی که فرآیند جادادن تنها یک بار به کار گرفته شود، تقریباً برابر با شبکه یکنواخت معادل با ریزی شبکه جاداده شده‌ای است که دو بار فرآیند جادادن را به کار گرفته است. نکته قابل توجه دیگری که با مقایسه خطوط هم ماخ برای حالات مختلف تطبیق از شکل‌های (۵ و ۶) برداشت می‌شود، این که تولید آنتروپی در هر روش هوشمند که از توزیع مجدد به نحوی استفاده کرده است، کاهش بسیار داشته است. علت تولید

- [17] A. Saalehi, G. L. Borthwick, "Quadtree and Octree Grid Generation", International Journal of Eng., I.R. Iran, Vol.9, Feb. 1996.
- [18] M. Ameri, Shirani, "Combination of Adaptive-grid Redistribution and Embedding Methods", Communications in Numerical Methods in Engineering, Vol. 20, pp. 229-240 2004.
- [19] H. Vivian, "Test Cases for Inviscid Flow Field Methods", AGARD Fluid Dynamics Panel, AGARD Advisory Rept. AR-211, May 1985.
- [20] A. Jameson, L. Martinelli , "Mesh Refinement and Modeling Errors in Flow Simulation", AIAA Journal, Vol. 36, No. 5, May 1998.
- [21] A. Dervieux, B. V. Leer, J. Periaux, and A. Rizzi, editors, "Numerical Simulation of Compressible Euler Flows", Vol. 26 of Notes on Numerical Fluid Mechanics, Vieweg, 1989.

جدول(۱): ضرایب آیرودینامیکی  $C_L$  و  $C_D$  برای جریان حول ایرفویل  $\alpha=1/25^\circ$  و  $M=0.8$  با NACA0012

$C_L$	$C_D$	زمان	تعداد گره	نوع تطبیق
-۰/۳۵۸۹	۰/۰۲۳۵	٪۱۵	۷۲۸۹	دو بار جا داده شده
-۰/۳۸۰۰	۰/۰۲۱۹	٪۹	۳۰۶۲	ترکیبی با یک بار جا دادن
-۰/۳۶۲۳	۰/۰۲۳۳	٪۱۸	۷۵۶۲	ترکیبی با دو بار جا دادن
-۰/۳۵۱۴	۰/۰۲۱	٪۱۰۰	۲۰۸۰۰	شبکه یکنواخت ریز
-۰/۳۷۳۶	-۰/۰۲۳۷			مرجع [۱۹]
-۰/۳۴۶۳	۰/۰۲۲۱			
-۰/۳۶۵۴	۰/۰۲۳۲			مرجع [۲۰]

جدول(۲): ضرایب آیرودینامیکی  $C_L$  و  $C_D$  برای ایرفویل NACA0012 با  $\alpha=10^\circ$  و  $M=0.85$

$C_L$	$C_D$	زمان	تعداد گره	نوع تطبیق
-۰/۳۷۵	۰/۰۵۹۳	٪۳۲	۷۶۵۵	دو بار جا داده شده
-۰/۴۰۸	۰/۰۵۶۰	٪۱۷	۳۰۷۱	ترکیبی با یک بار جا دادن
-۰/۳۸۳	۰/۰۵۸۶	٪۴۰	۷۵۷۹	ترکیبی با دو بار جا دادن
-۰/۳۷۱۳	۰/۰۶۰	٪۱۰۰	۲۰۸۰۰	شبکه یکنواخت ریز
-۰/۳۶-۰/۳۹	-۰/۰۵۹ ۰/۰۵۶			مرجع [۲۱]
-۰/۳۸۶۱	۰/۰۵۸۲			مرجع [۲۰]

- [2] K. Nakahashi, G. S. Diewert, "A Practical Adaptive-Grid Method for Complex Fluid- Flow Problems", NASA T.M. 85989, June 1984.

- [3] K. Nakahashi, G. S. Diewert, "A Self-Adaptive-Grid Method with Application to Airfoil Flows", AIAA pp. 85-1525, 1985.

- [4] K. Nakahashi, G. S. Diewert, "Three-Dimensional Adaptive Grid Method", AIAA Journal, Vol. 24, June 1986.

عامری، مهران و شیرانی، ابراهیم "اثر استفاده از روش تطبیق شبکه توزیع مجدد در حل عددی جریان سیال قبل تراکم"، ششمین کنفرانس دینامیک شاره ها، دانشگاه علم و صنعت ایران، اسفند ۱۳۷۸.

- [5] H. J. Kim, J. F. Thompson, "Three-Dimensional Adaptive Grid Generation on a Composite-Block Grid", AIAA Journal, Vol. 28, March 1990.

- [6] R. A. Benson, D. S. McRae, "A Three Dimensional Dynamic Solution-adaptive Mesh Algorithm", AIAA pp. 90-1566, in : AIAA 21<sup>st</sup> Fluid Dynamics, Plasma Dynamics, and Laser Conf. , Seattle, WA (1990).

- [7] Y. Kallinderis, P. Vijayan, "Adaptive Refinement Coarsening Scheme for Three Dimensional Unstructured Meshes", AIAA Journal, Vol. 31, No. 8, August 1993, pp. 1440-1447.

- [8] Y. Kallinderis, A. Khawaja, and H. McMorris, "Hybrid Prismatic/Tetrahedral Grid Generation for Viscous Flows around Complex Geometries", AIAA Journal, Vol. 34, No. 2, February 1996, pp. 291-298.

- [9] S. D. Connell, G. Holmes, "Three-Dimensional Unstructured Adaptive Multigrid Scheme for the Euler Equations", AIAA Journal, Vol. 32, No. 8, August 1994, pp. 1626-1632.

- [10] L. D. Davis, J. F. Dannenhofer, "Three- Dimensional Adaptive Grid- Embedding Euler Technique", AIAA Journal, Vol.32, June 1994.

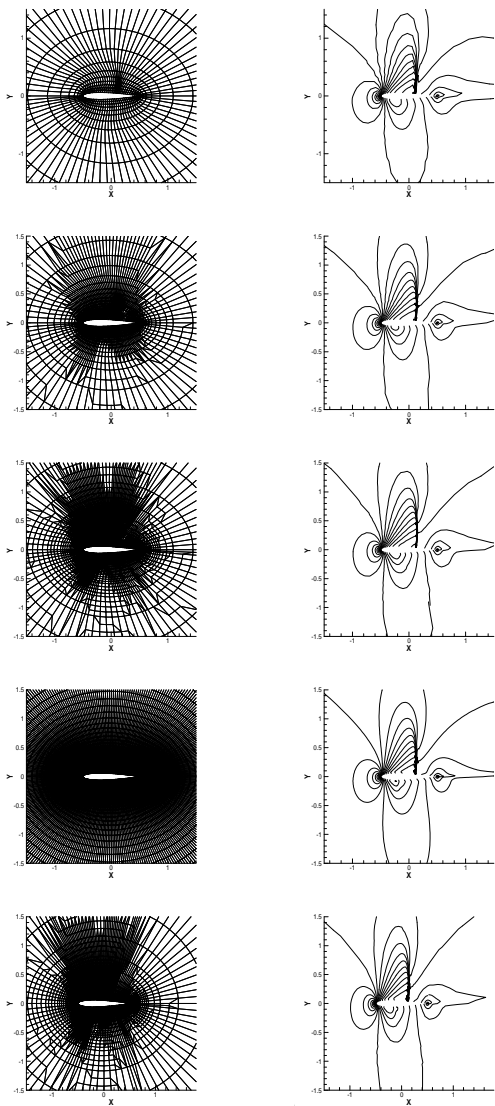
- [11] M. Ameri, E. Shirani, "Effects of Directional Subdividing on Adaptive Grid-Embedding", International Journal of Engineering, Islamic Republic of Iran, Vol. 16, pp. 71-78, 2003.

- [12] Ni, Ron-Ho, "A Multiple Grid scheme for solving the euler equations", AIAA Journal, Vol. 20, No. 11, 1982, pp.1565-1571.

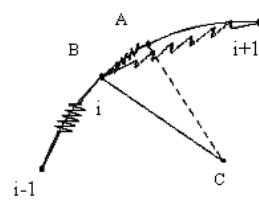
- [13] M. B. Giles, "Nonreflecting Boundary Conditions for Euler Equation Calculations", AIAA Journal, Vol. 28, December 1990.

- [14] Zienkiewicz, O. C., and Zhu, J. Z., "Adaptivity and Mesh Generation," *Int. J. Numer. Methods Eng.*, Vol. 32, 783-810 (1991).

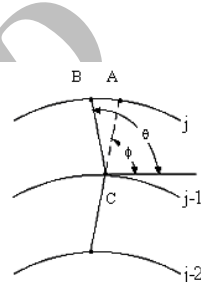
- [15] Kallinderis, Y., and Nakajima, k., "Finite Element Method for Incompressible Viscous Flows with Adaptive Hybrid Grids," *AIAA Journal*, Vol. 32, August 1994.



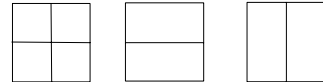
شکل(۵): مقایسه شبکه ها و خطوط هم ماخ برای جریان حول ایرفویل  $\alpha=1/125^\circ$  با  $M=0.8$  و  $\alpha=1/105^\circ$  (فاصل خطوط هم ماخ  $10^5$ )



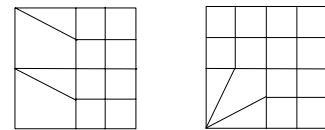
شکل(۱): شباهت سازی با فترهای کششی و پیچشی



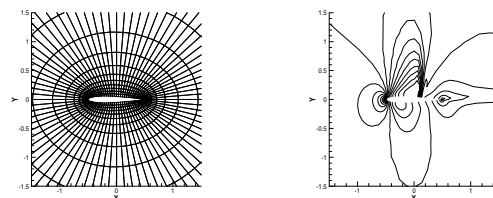
شکل(۲): عالیم به کار رفته به منظور شبیه سازی با فترهای پیچشی

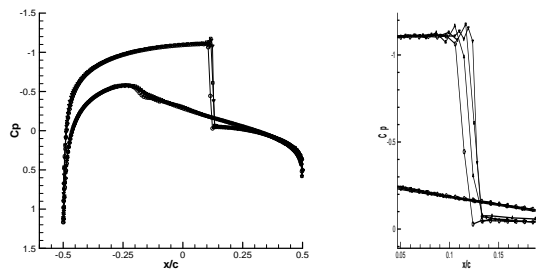


شکل(۳): سه نوع تقسیم

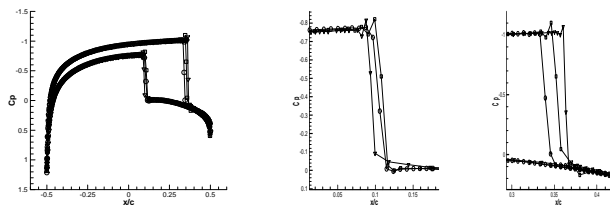
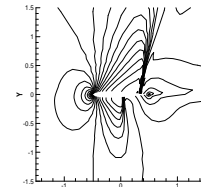
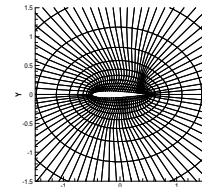
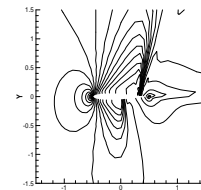
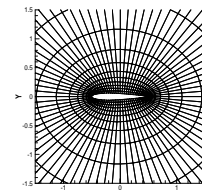


شکل(۴): ایجاد سلول های مثلثی و چهار ضلعی برای سلول هایی که دارای گره های سطح داخلی هستند.

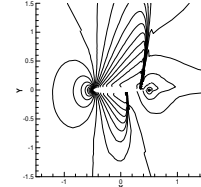
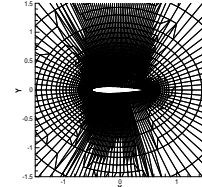
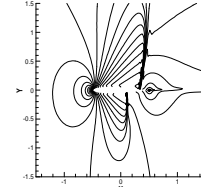
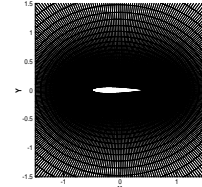
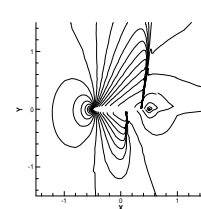
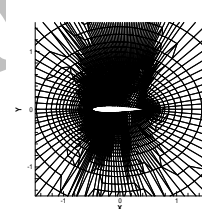
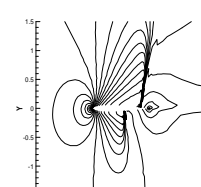
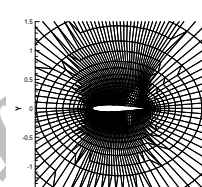




شکل(۷): مقایسه بین منحنی تغییرات ضربی فشار روی سطح ایرفویل در شبکه های دو بار جا داده شده — ▲ ترکیبی با یک بار جادادن — □ شبکه یکنواخت ریز — ○ و شبکه دوبار جادادن — ▽ و زاویه حمله  $1/25$  درجه حول ایرفویل NACA0012 با ماخ ورودی  $0/80$  و زاویه حمله  $1/25$  درجه



شکل(۸): مقایسه بین منحنی تغییرات ضربی فشار روی سطح ایرفویل در شبکه های دو بار جا داده شده — ▲، ترکیبی با دو بار جادادن — □، یکنواخت ریز — ○ و شبکه دوبار جادادن — ▽ برای جریان حول ایرفویل NACA0012 با ماخ ورودی  $0/85$  و زاویه حمله  $10/0$  درجه



شکل(۶): مقایسه شبکه ها و خطوط هم ماخ برای جریان حول ایرفویل NACA0012 با  $M=0/85$  و  $\alpha=10^0$  (فواصل خطوط هم ماخ  $0/05$ )